



ارائه روش جدید حذف نویه تصویر براساس یادگیری واژه‌نامه ناهمدوس و روش تطبیق فضای

رضا مظفری^۱ و سمیرا مودتی^{۲*}

^۱ مؤسسه آموزش عالی علوم و فناوری آریان، امیرکلا، ایران

^۲ دانشکده فنی مهندسی، دانشگاه مازندران، بابلسر، ایران

چکیده

در این مقاله یک روش جدید به منظور حذف نویه تصویر براساس یادگیری واژه‌نامه ناهمدوس در فضای تطبیق یافته ارائه می‌شود. روال یادگیری واژه‌نامه براساس درنظرگرفتن معیار همدوسی به منظور حصول واژه‌نامه‌های فراکامل با اتم‌های ناهمدوس و به کارگیری روش تطبیق فضای به منظور کاهش زمان پردازش و دست یابی به تصویر حذف نویه شده با دقت بیشتر است. با استفاده از این روش، واژه‌نامه اولیه‌ای از داده تصویر بر دسترس تهیه و سپس اتم‌های آموزش دیده متناسب با نویه‌ای که محیط آزمایش با آن درگیر است به کمک یک الگوریتم بهینه‌سازی جدید مبتنی بر روش حافظه محدود BFGS به روز می‌شوند. همچنین گام بازنمایی تُنک در این الگوریتم بر مبنای یک الگوریتم مبتنی بر افزایش همدوسی اتم-داده است. آموزش واژه‌نامه فراکامل با اتم‌های ناهمدوس بسیار حائز اهمیت است؛ زیرا به خطای تقریب کوچک‌تر در بازنمایی تُنک متنبی می‌شود چون در بازنمایی داده تصویر، اتم‌های مستقل از هم نقش بیشتری خواهند داشت و فضای داده را به بهترین نحو پوشش می‌دهند. همچنین از یک روش بازنمایی تُنک ناهمدوس نیز در روال یادگیری واژه‌نامه بهره گرفته می‌شود. به کارگیری این روال یادگیری موجب دست یابی به تصویر حذف نویه شده با دقت بالا می‌شود. نتایج شبیه‌سازی با نتایج الگوریتم حذف نویه تصویر مبتنی بر روال تطبیق فضای پایه و روش یادگیری واژه‌نامه مبتنی بر K-SVD مقایسه شده است. نتایج شبیه‌سازی‌های انجام شده نشان می‌دهد که الگوریتم پیشنهادی در حذف نویه گویندی به نتایج مناسب تری نسبت به سایر الگوریتم‌ها دست یافته و توانسته است با به کارگیری اتم‌های ناهمدوس، ساختار داده ورودی را به گونه مناسبی بازنمایی کند.

واژگان کلیدی: حذف نویه، پردازش تصویر، یادگیری واژه‌نامه، همدوسی، تطبیق فضای

A Novel Image Denoising Method Based on Incoherent Dictionary Learning and Domain Adaptation Technique

Reza Mozafari¹ & Samira Mavaddati^{2*}

¹ Master of Science in Electronic Engineering, Aryan Institute of Higher Education and Technology, Amirkola, Iran

² Electrical Department, Faculty of Technology and Engineering, University of Mazandaran, Babolsar, Iran

Abstract

In this paper, a new method for image denoising based on incoherent dictionary learning and domain transfer technique is proposed. The idea of using sparse representation concept is one of the most interesting areas for researchers. The goal of sparse coding is to approximately model the input data as a weighted linear combination of a small number of basis vectors. Two characteristics should be considered in the dictionary learning process: Atom-data coherence and mutual coherence between dictionary atoms. The first one

* Corresponding author

*نویسنده عهده دار مکاتبات



determines the dependency between the dictionary atoms and training data frames. This criterion value should be high. Another parameter expresses the dependency between atoms defined as the maximum absolute value of the cross-correlations between them. Higher coherence to the data class and lower mutual coherence between atoms result in a small approximation error in sparse coding procedure. In the proposed dictionary learning process, a coherence criterion is employed to yield over complete dictionaries with the incoherent atoms. The purpose of learning dictionary with low mutual coherence value is to reduce the approximation error of sparse representation in the denoising process and also decrease the computing time. We utilize the least angle regression with coherence criterion (LARC) algorithm for sparse representation based on atom-data coherence in the first step of dictionary learning process. LARC sparse coding is an optimized generalization of the least angle regression algorithm with stopping condition based on a residual coherence. This approach is based on setting a variable cardinality value.

Using atom-data coherence measure as stopping criteria in the sparse coding process yields the capability of balancing between source confusion and source distortion. A high value for the cardinality parameter or too dense coding results in the source confusion since the number of dictionary atoms is more than what is required for a proper representation. Source degradation occurs when the sparse coding is done with low cardinality parameter or too sparse coding. Therefore, the number of required atoms will not be enough and data cannot be coded exactly over these atoms. Therefore, the setting procedure of cardinality parameter must be performed precisely.

The problem of finding a dictionary with low mutual coherence between its normalized atoms can be obtained by considering the Gram matrix. The mutual coherence is described by the maximum absolute value of the off-diagonal elements of this matrix. If all off-diagonal elements are the same, a dictionary with minimum self-coherence value is obtained.

Also, we take advantage of domain adaptation technique to transfer a learned dictionary to an adapted dictionary in the denoising process. The initial atoms set randomly and are updated based on the selected patches of input noisy image using the proposed alternating optimization algorithm.

According to these issues, the fitness function in dictionary learning problem includes three main sections: The first term is related to the minimization of approximation error. The next items are the incoherence criterion of dictionary atoms. The last one includes a transformation of initial atoms according to some patches of the noisy input data in the test step. We use limited-memory BFGS algorithm as an iterative solution for regular minimization of our objective function involved different terms. The simulation results show that the proposed method leads to significantly better results in comparison with the earlier methods in this context and the traditional procedures.

Keywords: Image denoising, Dictionary learning, Coherence, Domain adaptation, Image processing

می‌کنند، با تکیه بر بعد بسیار کمتری از مسیب‌های پایه^۳ امکان‌پذیر باشد. بنابراین در سال‌های اخیر، ایده نمایش تُنک سیگنال که مبتنی بر مفاهیم حسگری فشرده یا نمونه‌برداری فشرده^۴ است، بسیار مورد توجه قرار گرفته است [8-9]. نمونه‌برداری فشرده که از کاربردهای اصلی تجزیه تُنک محسوب می‌شود در سال‌های اخیر به شدت مورد توجه قرار گرفته است. دلیل اصلی این توجه آن است که در پردازش سیگنال کلاسیک با نمونه‌برداری یکنواخت از یک سیگنال آنالوگ با نرخ نایکوئیست می‌توان سیگنال اصلی را بازسازی کرد؛ در حالی که در حس‌گری فشرده با جایگزینی مفهوم نمونه^۵ با مفهومی جدید به نام اندازه‌گیری^۶، سیگنال اصلی با تعداد بسیار کمتری از اندازه‌گیری‌ها در مقایسه با تعداد نمونه‌های لازم قابل بازیابی خواهد بود. اندازه‌گیری در حقیقت ترکیبی خطی تصادفی از نمونه‌های سیگنال است که سیگنال اصلی به کمک آن قابل بازسازی باشد [8-9].

³ Basis

⁴ Compressive sensing

⁵ Sample

⁶ Sensing

۱- مقدمه

کاربردهای مختلف پردازش سیگنال تصویر در حوزه‌های گوناگون مانند پزشکی، کشاورزی، سامانه‌های امنیتی، کاربردهای صنعتی و نظامی موجب شده است تا این زمینه پژوهشی بسیار مورد توجه قرار گیرد. در میان حوزه‌های مختلف پردازش تصویر، بهسازی یا حذف نویه از سیگنال تصویر به علت کاربرد زیاد آن در صنایع مختلف بسیار حائز اهمیت است [1-3]. الگوریتم‌های حذف نویه ارائه شده تاکنون شامل دسته روش‌های طراحی فیلترهای ساده و ورقی، استفاده از معادلات مشتقات جزئی، استفاده از تبدیل موجک، روش مورفولوژی، روش‌های آماری و غیره است [4-7]. در این مقاله، الگوریتم حذف نویه تصویری مبتنی بر مفاهیم بازنمایی تُنک^۱ و آموزش واژه‌نامه^۲ ارائه می‌شود.

مبحث بازنمایی تُنک این امکان را فراهم می‌سازد که عمده اطلاعات مورد نیاز جهت بازنمایی سیگنال و ذخیره شده در پایگاه‌های داده که حجم بالایی از فضای اطلاعات را اشغال

¹ Sparse representation

² Dictionary learning





به منظور حذف نویفه تصویر به دست آورده است. اتمهای واژه نامه در این روش براساس تکه های^۱ مختلف تصویر نویفه ای مشخص شده و با تنظیم شاخص تُنک مناسب، حذف نویفه به کمک بازنمایی تُنک تصویر نویفه ای بر روی واژه نامه تعیین شده حاصل می شود. در [13] نیز از الگوریتم K-SVD به منظور آموزش واژه نامه بهره گرفته می شود. حذف نویفه سیگنال تصویر به کمک ضرایب حاصل از بازنمایی تُنک به کمک یک روال تعقیب از پیش طراحی شده انجام می گیرد. همچنین نسخه اصلاح شده الگوریتم K-SVD برای حذف نویفه از تصاویر رنگی در [14] معرفی شده است. در این روش، از بازنمایی تُنک با چند مقیاس به منظور بازنمایی داده تصویر استفاده می شود.

در [15] از الگوریتمی جهت یادگیری اتمهای واژه نامه و حذف نویفه از تصاویر سه بعدی پژوهشی ارائه شده که طی دو مرحله کدگذاری تُنک و به روزرسانی واژه نامه انجام می شود. مرحله بازنمایی تُنک توسط الگوریتمی به نام تعقیب چند خوشه ای انجام می شود که در کنار روال آموزش واژه نامه، نتایج مطلوبی در حذف نویفه تصویر بدست می دهد.

در [16]، یک الگوریتم بهینه سازی برای حذف نویفه از تصویر به کمک مفاهیم بازنمایی تُنک و خوش بندی معرفی شده که در آن از قید تُنکی محلی و غیر محلی برای آموزش اتمهای خوش بندی ساختاری استفاده شده است؛ همچنین یک راه حل برای جایگزینی نرم دو با نرم یک در روال بهینه سازی پیشنهاد شده است. روش ارائه شده در [17] به منظور حذف نویفه از تصویر براساس عملگرهای محلی و بازنمایی تصویر در هر بلوک معرفی شده مجزا بر روی واژه نامه فرا کامل آموزش دیده انجام می شود. در این روش، واژه نامه به کار گفته شده در روال حذف نویفه براساس تصویر نویفه ای و رودی آموزش می بیند و یک روال بازنمایی تُنک اصلاح شده بر اساس آن پیشنهاد می شود.

در [18]، یک الگوریتم بازیابی تصویر بر مبنای آموزش واژه نامه ناهمدوس ارائه شده است. روال حذف نویفه به کمک الگوریتم بهینه سازی پیشنهاد شده و براساس کمینه سازی خطای تقریب و همچنین همدوسی متقابل میان اتمهای، با در نظر گرفتن قیودی صورت می گیرد. این قیود به منظور به روزرسانی بخش های مختلف تابع بهینه سازی تنظیم می شوند. در [19]، یک بررسی کلی در مورد روش های ارائه شده برای حذف نویفه تصویر انجام شده است که منجر به بازیابی تصویر و در ادامه افزایش تفکیک پذیری و قطعه بندی تصویر می شود. بررسی های انجام شده از الگوریتم K-SVD که

مفهوم تُنکی در حالت ایده آل به معنای صفر بودن بیش تر مؤلفه های سیگنال در فضای بازنمایی بوده اما در عمل تُنکی به معنای آن است که بیش تر ضرایب کوچک بوده و تنها چند مؤلفه از سیگنال دارای مقدار قابل توجهی باشدند. همان طور که می دانیم بسیاری از سیگنال ها در حوزه زمان نمایش تُنک ندارند. به همین جهت تلاش های زیادی در راستای نمایش تُنک این سیگنال ها در حوزه های مختلف صورت گرفته است.

بسیاری از تبدیلاتی که در پردازش سیگنال برای رسیدن به این هدف مورد استفاده قرار می گیرند، واژه نامه های^۲ کاملی را فراهم می آورند که هر یک برای نمایش دسته ای از سیگنال ها مناسب است. از جمله، حوزه یا تبدیل های رایج می توان به تبدیل فوریه^۳ (FT)، تبدیل کسینوسی گسته^۴ (DCT) و تبدیل موجک گسته^۵ (DWT) اشاره کرد.

در سال های اخیر، یادگیری واژه نامه به منظور بازنمایی تُنک سیگنال یکی از موضوعات مورد علاقه پژوهش گران در زمینه حذف نویفه از تصویر بوده است [10-15]. در [10]، یک روش حذف نویفه تصویر براساس بازنمایی تُنک چند مقیاسی معرفی شده که در آن بازنمایی تُنک در مقیاس های مختلف و با توجه به ویژگی های سیگنال تصویر انجام می شود. همچنین یک معیار توقف برای کدگذاری تُنک با توجه به ساختار مؤلفه های تصویر به منظور به دست آوردن تصویر با ویژگی های بهتر، ارائه گردید. به کار گیری روش آموزش واژه نامه در روش پیشنهادی، کیفیت تصویر حاصل از گام حذف نویفه را افزایش داده و موجب پیچیدگی محاسباتی کمتر می شود. در [11] روش حذف نویفه محلی- تطبیقی براساس خوش بندی تصویر نویفه ای در نواحی دارای ساختار هندسی مشابه ارائه شد. در روال خوش بندی مطرح شده از توابع مشتق، رگرسیون و توابع کرنل به منظور محاسبه مشخصه وزن محلی استفاده می شود. اساس این شیوه خوش بندی، بر روش آنالیز مؤلفه های اساسی^۶ استوار است [11].

استفاده از مفاهیم بازنمایی تُنک و ایده آموزش واژه نامه به منظور حذف نویفه تصویر برای نخستین بار در [12] ارائه شد که مبنی بر الگوریتم K-SVD^۷ بوده و نتایج مناسبی را

¹ Dictionary

² Fourier Transform

³ Short Time Fourier Transform

⁴ Discrete Cosine Transform

⁵ Discrete wavelet Transform

⁶ Principle component analysis (PCA)

⁷ K-Singular value decomposition

$I_{m \in M} \sim N(0, \sigma^2)$ است. تصویر ورودی I به بلوک‌های $I \in \mathbb{R}^N$ می‌شود که M مختصات این بلوک‌ها خواهد بود. روش بازنمایی تُنک بیان می‌کند که یک سیگنال $D \in \mathbb{R}^{N \times L}$, $L > n$ یک واژه‌نامه فراکامل است، نمایش داده شود. واژه‌نامه شامل L اتم در ستون‌ها $\{d_i\}_{i=1}^L$ با نرم واحد $x \in \mathbb{R}^{N \times L}, L > n$ و بردار کدگزار K -تُنک⁴ $\|d_{(i,l)}\|_2 = 1, \forall l = 1, \dots, L$ $\gg K$ شامل ضرایب بازنمایی سیگنال I خواهد بود [21-23]. بنابراین مسأله بازنمایی تُنک که شامل بخش‌های خطای بازسازی و قید تُنکی است به صورت زیر قابل بیان است [21-23]:

$$\begin{aligned} x^* = \arg \min_x \|I - Dx\|^2 \\ \text{s.t. } \|x\|_0 \leq K \end{aligned} \quad (2)$$

تعداد ضرایب غیرصفر در x به صورت $K = \|x\|_0$ که بیان گر کاردینالیتی⁵ سیگنال است، تعریف می‌شود. نرم I_0 در رابطه (2) به یک مسأله غیرمحدب منتهی می‌شود که به صورت چندجمله‌ای غیرقطعی-دشوار⁶ بوده و ممکن است موجب گرفتارشدن مسأله بهینه‌سازی در کمینه‌های محلی شود. آزادسازی⁷ این مسأله با جایگزینی نرم I_0 با نرم I_1 در [24] گزارش شده است.

همان‌طور که بیان شد، الگوریتم K-SVD به عنوان یک روش مناسب به منظور آموزش واژه‌نامه فراکامل می‌تواند مورد استفاده قرار می‌گیرد [12]. این روش شامل دو گام بازنمایی تُنک و تطبیق اتم‌ها است که به علت انعطاف‌پذیری بودن این روش، از هر الگوریتم کدگذاری تُنک مدنظر می‌توان در گام نخست آن استفاده کرد. روش به کار گرفته شده به منظور بازنمایی تُنک بر اساس تعداد پارامترهای لازم برای تنظیم، دقیق و چگونگی تنظیم نرخ تُنکی برای هر کاربرد متفاوت است. همان‌طور که انتظار می‌رود با افزایش داده آموزش، سرعت هم‌گرایی الگوریتم نیز کاهش می‌یابد. تنظیم مناسب نرخ تُنکی در این شرایط، می‌تواند خطای بازسازی در محدوده قابل قبول را بدست دهد.

تاكون روش‌های یادگیری واژه‌نامه متعددی ارائه شده است که در این بین می‌توان از الگوریتم‌های مبتنی بر درست‌نمایی بیشینه، روش جهت‌های بهینه⁸، روش بیشینه احتمال پسینه نام برد [25-26].

⁴ K-sparse

⁵ Cardinality

⁶ Non-deterministic polynomial hard (NP-Hard)

⁷ Relaxation

⁸ Method of optimal directions(MOD)

روش پایه در این زمینه است، شروع و درنهایت به روال‌های آموزش واژه‌نامه به صورت پرخط منتهی می‌شود.

در [20]، یک روال حذف نویه تصویر با هدف کاهش زمان محاسبات و نیز کاهش حافظه مورد نیاز در زمان اجرای الگوریتم بهینه‌سازی پیشنهادی، ارائه شده است. در این مرجع، دو روال حذف نویه براساس فیلترهای تطبیقی و همچنین شباهت میان تکه‌های استخراج شده از تصویر برای دستیابی به اهداف یادشده ارائه شده است.

معیار مهمی که می‌بایست در آموزش واژه‌نامه فراکامل¹ مورد توجه قرار گیرد، میزان همدوسی² میان اتم‌ها یا ستون‌های واژه‌نامه است. کوچک‌ترین دینامیک بیان گر این مسأله است که هر اتم مستقل از اتم‌های دیگر در نمایش تصویر ورودی تأثیرگذار خواهد بود؛ بنابراین به کمک پایه‌های فضایی تا حد ممکن مستقل، کمترین خطای تقریب در نمایش تُنک سیگنال تصویر به دست می‌آید.

در این مقاله از روش تطبیق فضا³ به منظور دست‌یابی به واژه‌نامه مناسب با محیط آزمایش و شرایط نویه‌ای این محیط بهره گرفته می‌شود و یک روال بهینه‌سازی به منظور حصول اتم‌های با بیشینه ناهمدوسی به کمک انتقال فضای آموزش براساس داده نویه‌ای ورودی پیشنهاد می‌شود. گام بازنمایی تُنک در این روال نیز مبتنی بر الگوریتمی طراحی شده است که اتم‌های با بیشترین همدوسی نسبت به داده تصویر حاصل شوند.

در بخش دوم این مقاله مسأله حذف نویه از سیگنال تصویر مورد بررسی قرار می‌گیرد؛ سپس در بخش سوم، روال حذف نویه تصویر براساس روش پیشنهادی معروفی شده و در بخش چهارم نتایج شبیه‌سازی‌های انجام‌شده ارائه می‌شود. در ادامه و در بخش پنجم نتیجه‌گیری در مورد روش ارائه شده بیان می‌شود.

۲- تعریف مسئله

سیگنال تصویر در مواجهه با نویه سفید گوسی به صورت زیر قابل مدل‌شدن خطی است:

$$Y(m) = I(m) + \eta(m) \quad (1)$$

که در آن Y ، I و η به ترتیب ماتریس داده سیگنال

نویه‌ای، سیگنال تمیز و سیگنال نویه سفید گوسی با مشخصه

¹ Overcomplete

² Coherence

³ Domain adaptation

فضای نووفه‌ای تصویر مشاهده شده در محیط آزمایش، تطبیق می‌یابد. در گام آزمایش، از آنجایی که واژه‌نامه آموزش دیده متشكل از اتم‌هایی است که با داده تصویر تمیز آموزش دیده‌اند و همچنین اتم‌هایی را شامل می‌شود که براساس نووفه تصویر تطبیق یافته‌اند، به کمک بازنمایی تُنک داده تصویر نووفه‌ای ورودی بر روی واژه‌نامه انتقال یافته و امکان جداسازی بخش داده تصویر و نووفه وجود خواهد داشت [27].

اگر فرض کنیم که واژه‌نامه اولیه $D_0 \in R^{n \times k}$ که با استفاده از داده تصویر تمیز آموزش دیده است در دسترس باشد و بخواهیم واژه‌نامه جدید D را تبیها با داشتن تکه‌های کمی از تصویر y ، به روش انتقال واژه‌نامه بدست آوریم، می‌بایست رابطه زیر کمینه‌سازی شود [27]:

$$\begin{aligned} L(X, D) = \min_{x, D} & \sum_i^m \|y_i - Dx_i\|_2^2 \\ & + \lambda_1 \|D - D_0\|_F^2 \\ \text{s. t. } & \|x_i\|_0 \leq K \\ & \forall j = 1, 2, \dots, l, d_j^T d_j \leq 1 \end{aligned} \quad (3)$$

در این رابطه y ، ماتریس داده ورودی است که در آن هر تکه تصویر به عنوان یک ستون در نظر گرفته شده است. x ضرایب تُنک متناظر و K مقدار تُنکی^۱ را نمایش می‌دهد. پارامتر K یا کاردینالیتی، بیان گر آن است که هر داده ورودی از ماتریس y می‌تواند با چند اتم از واژه‌نامه بازنمایی شود و هر چه این مقدار کوچکتر باشد، تُنکی در بازنمایی بیشتر و خطای تقریب نیز افزایش خواهد داشت. همچنین $\|\cdot\|_0$ نرم فربنیوسی^۲ است. همچنین به منظور این که درایه‌ها در بردارهای اتم واژه‌نامه مقادیر بزرگی نداشته باشند و به مقادیر بسیار کوچک درایه‌ها در ماتریس x منجر نشوند، می‌بایست تا نرم دوم دوم اتم‌های واژه‌نامه مقدار یک را داشته باشند و به این معنی است که اندازه ستون‌های واژه‌نامه به مقدار یک نرمالیزه شوند.

بخش نخست در این رابطه بیان گر خطای تقریب است و بخش دوم خطای تطبیق را مشخص می‌کند. هر چه مقدار این تابع کوچکتر باشد، واژه‌نامه D یادگیری شده با خطای تقریب بازنمایی تُنک کمتری به واژه‌نامه اولیه D_0 شبیه است. در این تابع نووفه‌ای y به روی واژه‌نامه D ای بازنمایی داده می‌شود که شباهت زیادی به واژه‌نامه D_0 دارد که در ابتدای الگوریتم با استفاده از داده تصویر تمیز یادگیری شده است.

λ_1 ، پارامتر وزن‌دهی برای تعیین چگونگی ارتباط میان فضای اولیه و فضای تطبیق است. اگر دو فضا شبیه باشند،

^۱ Cardinality

^۲ Frobenius

۳- یادگیری واژه‌نامه ناهمدوس براساس روش تطبیق فضا

ایده به کارگیری واژه‌نامه‌های فراکامل با اتم‌های نمونه شده از سیگنال برای بازنمایی تُنک، کاربردهای گسترده‌ای در زمینه‌های مختلف دارد که از این میان به کارگیری این روش در حوزه حذف نووفه تصویر بسیار نوپا و جدید است [8-9]. روال متدال برای آموزش یک واژه‌نامه جدید که در حذف نووفه تصویر مورد استفاده قرار گیرد به این صورت است که کل تصویر به عنوان ورودی الگوریتم در نظر گرفته می‌شود که بسیار زمان بر خواهد بود. بنابراین درنظر گرفتن این دسته روش‌ها که در آن کل تصویر مورد استفاده قرار می‌گیرد، ممکن است به بیش‌بازارش^۳ در آموزش واژه‌نامه منجر شود. بیش‌بازارش در یادگیری اتم‌ها به این معنی است که ابعاد ماتریس داده ورودی بسیار بالا بوده (داده آموزش زیادی در دسترس است) و تعداد اتم‌ها یا ستون‌های واژه‌نامه به منظور بازنمایی تکه‌های تصویر کم است. در این صورت به طور معمول خطای بازنمایی تُنک بالایی بدست می‌آید که نشان می‌دهد اتم‌های مناسبی برای نمایش محتوا داده ورودی آموزش ندیده‌اند و انطباقی میان اتم‌ها به عنوان پایه‌های فضایی و محتوای تکه‌های تصویر وجود ندارد.

به منظور رفع این مشکل در مرجع [27]، یک روال یادگیری واژه‌نامه به منظور حذف نووفه تصویر پیشنهاد شد که در آن از روش یادگیری انتقال یافته^۴ استفاده شده است. واژه‌نامه اولیه یا فضای منبع^۵ در این روش به کمک روش تطبیق فضا^۶ به واژه‌نامه فضای هدف^۷ تنظیم می‌شود. این روال از طریق تنظیم اتم‌ها براساستابع انحری صورت می‌پذیرد. در حقیقت، واژه‌نامه جدید تنها با کمک تعداد کمی از تکه‌های تصویر نووفه‌ای هدف آموزش می‌بیند و دیگر نیاز به آموزش براساس کل تصویر فضای آزمایش نخواهد بود [27]. از این روش در حوزه حذف نووفه سیگنال گفتار نیز استفاده شده است [28].

براساس روش تطبیق فضا، در ابتدا یک واژه‌نامه اولیه(منبع) با استفاده از یکی از روش‌های یادگیری، آموزش خواهد دید. در ادامه اتم‌های این واژه‌نامه اولیه که با D_0 معرفی می‌شود با استفاده از روال یادگیری انتقال واژه‌نامه براساس

¹ Over fitting

² Transfer learning

³ Source domain dictionary

⁴ Domain adaptation

⁵ Target domain dictionary

⁶ Patch

در این رابطه، $A = x_i \cdot x_i^T$ و $B = y_i \cdot x_i^T$ است.
بهمنظور بهینه‌سازی و بهدست آوردن گرددیان خواهیم داشت:

$$\begin{aligned} \frac{\partial F}{\partial D} &= 0 \rightarrow \frac{\partial \text{tr}(D^T D A)}{\partial D} = 2D A, \\ \frac{\partial \text{tr}(D^T B)}{\partial D} &= B, \\ \frac{\partial \text{tr}((D - D_0)(D - D_0)^T)}{\partial D} &= 2(D - D_0) \end{aligned} \quad (5)$$

در نتیجه بهدست می‌آید:

$$2D A - 2B + 2\lambda_1(D - D_0) = 0 \rightarrow D = \frac{(B + \lambda_1 D_0)(A + \lambda_1 I)}{(A + \lambda_1 I)} \quad (6)$$

۱ در این رابطه ماتریس یکه است. اگر داده آموزش کمی در دسترس باشد، خطای تقریب که توسط بخش نخست رابطه معنی‌دار شود افزایش می‌باید و می‌بایست ضربی λ_1 بزرگ‌تر انتخاب شود تا اثر بخش دوم رابطه بیشتر شود. همچنین مقادیر کوچک‌تر برای این ضربی زمانی درنظر گرفته می‌شود که داده آموزش کافی در دسترس باشد و هر اتم در واژه‌نامه D به راحتی بتواند تصویر ورودی را بازسازی کند.

۱-۳- یادگیری واژه‌نامه براساس ناهمدوسی

از آنجایی که استفاده از واژه‌نامه ناهمدوس مطابق با آنچه در پیش بیان شد برای تقریب تُنک سیگنانل مناسب است، مسئله طراحی واژه‌نامه مشروط به کمینه‌سازی همدوسی اتم‌های واژه‌نامه خواهد بود. در میان ماتریس‌های با ابعاد بالا، قاب‌های سخت متساوی‌الزاویه^۴ (ETF) کمینه همدوسی را دارند [30]. دارای‌بودن ویژگی ETF به ماتریسی اطلاق می‌گردد که ستون‌ها در آن به طور کامل از یکدیگر مستقل بوده و یا کمترین میزان ممکن وابستگی را داشته باشند.

باید توجه داشت که بهدست آورن این ویژگی به‌الزام برای هر واژه‌نامه با ابعاد دلخواه ممکن نخواهد بود. بنابراین حل مسئله به صورت تقریبی انجام خواهد گرفت. پارامتر مهم در طراحی واژه‌نامه برای حصول تُنکی مناسب استفاده از پارامتر همدوسی μ آن واژه‌نامه است که به صورت مقدار مطلق بزرگ‌ترین حاصل ضرب درونی اتم‌های مجزای واژه‌نامه تعريف می‌شود. اگر $G = D^T D$ ماتریس گرام^۵ واژه‌نامه باشد، همدوسی $D \in \mathbb{R}^{d \times N}$ با ستون‌های نرمالیزه شده برابر با

بیشینه مقدار مطلق عناصر غیرقطری در G است.
اگر اندازه عناصر غیرقطری در این ماتریس مساوی باشد، آنگاه کمینه همدوسی و درنهایت ETF حاصل می‌شود.

⁴ Equiangular tight frame

⁵ Gram matrix

یعنی واژه‌نامه اولیه با داده تصویر آموزش دیده باشد که همان داده در مرحله آزمایش نوفه‌ای شده باشد، D به D_0 بسیار شبیه خواهد بود. درواقع درنظر گرفتن بخش دوم در رابطه بالا مزایای بسیاری دارد: ۱) پیچیدگی فضای هدف را کنترل می‌نماید. ۲) از بیش برآش در آموزش واژه‌نامه D جلوگیری می‌کند. ۳) این امکان را فراهم می‌سازد که با داده آموزش کم بتوان دقت حذف نوفه بالایی را بهدست آورد.

بهمنظور کمینه‌سازی این رابطه و بهدست آوردن ماتریس‌های D و X می‌توان از الگوریتم‌های بهینه‌سازی متناوب^۶ استفاده کرد. حل این رابطه در مرجع [27] به کمک الگوریتم متناوب ارائه شده است. در این الگوریتم در ابتدا کدگذاری تُنک کلاسیک بهمنظور بهینه‌سازی ماتریس X با D واژه‌نامه ثابت D انجام و سپس بهروزرسانی اتم‌های واژه‌نامه با ماتریس ضرایب تُنک X ثابت اجرا و این روال به‌طور متواتی اجرا می‌شود تا شرط هم‌گرایی رخ دهد. در این مرجع بهمنظور کدگذاری تُنک از الگوریتم تعییب متعمد OMP^۷ برای محاسبه ضرایب ماتریس تُنک X استفاده شده است [29]. این الگوریتم حریصانه است و اتم‌های واژه‌نامه در آن‌ها پی‌درپی انتخاب می‌شوند. در این روش شامل محاسبه حاصل ضرب درونی سیگنانل و اتم‌های واژه‌نامه هستند و گاهی نیز راه حل‌های کمینه مربعات در آن به کار گرفته می‌شود.

در ادامه بهمنظور بهروزرسانی اتم‌های واژه‌نامه، دو روش وجود دارد. روش نخست استفاده از الگوریتم‌های کاهش گرادیان تصادفی^۸ است. این روش که شامل آموزش واژه‌نامه به صورت برخط است، بسیار مؤثر بوده ولی به داده آموزش زیادی نیاز دارد؛ به همین دلیل نمی‌توان از آن به عنوان روش بهینه‌سازی بهمنظور حل مسئله آموزش واژه‌نامه براساس روش تطبیق فضای استفاده کرد.

روش دیگر استفاده از گرادیان تابع موردنظر و صفر قراردادن آن است؛ یعنی $0 = \frac{\partial L(X, D)}{\partial D}$ تا بتوان واژه‌نامه مطلوب را بهمنظور حذف نوفه بهدست آورد. این روش چون میزان داده آموزش حائز اهمیت نیست مورد توجه قرار می‌گیرد. بهروزرسانی واژه‌نامه در روال پیشنهادی مرجع [27] با درنظر گرفتن ماتریس ضرایب تُنک X صورت می‌پذیرد. خواهیم داشت:

$$\begin{aligned} F &= \min_D \sum_i^m \|y_i - Dx_i\|_2^2 + \lambda_1 \|D - D_0\|_F^2 \\ &= \min_D (\text{tr}(y_i^T y_i) + \text{tr}(D^T D A) - 2\text{tr}(D^T B) + \lambda_1 \text{tr}[(D - D_0)(D - D_0)^T]) \end{aligned} \quad (4)$$

¹ Alternating

² Orthogonal matching pursuit

³ Stochastic gradient descent

نخواهد بود و داده نمی‌تواند به درستی بر روی تعداد کم اتمهای واژه‌نامه کد شود [32].

از طرف دیگر، انتخاب پارامتر τ کی با نرخ بالا یا کدگذاری بسیار متراکم موجب اعوجاج منبع می‌شود؛ یعنی تعداد اتمها در واژه‌نامه تصویر برای بازنمایی درست آن بیشتر از حد نیاز بوده و در این صورت خطای تقریب افزایش می‌یابد. بنابراین انتخاب مقدار τ کی باید به دقت صورت پذیرد. در روش پیشنهادی از این روش بازنمایی τ ک در گام نخست الگوریتم یادگیری واژه‌نامه به منظور دست‌یابی به واژه‌نامه‌های با همدوسی متقابل بالا استفاده می‌شود.

همان‌طور که بیان شد دست‌یابی به واژه‌نامه ناهمدوس به صورت دقیق ممکن نیست و این مسئله هنگامی که ابعاد واژه‌نامه زیاد باشد، بیشتر مسئله ساز خواهد بود. بنابراین حصول واژه‌نامه ناهمدوس به صورت تقریبی و از طریق بررسی ماتریس گرام ممکن خواهد بود. ماتریس گرام یک واژه‌نامه ناهمدوس نرمالیزه شده به ماتریس یکه واحد شبیه خواهد بود. بنابراین هر چقدر ماتریس گرام یعنی $G = DD^T$ به ماتریس یکه واحد نزدیک‌تر باشد، نتیجه می‌شود که اتم‌ها مستقل‌تر از یکدیگر طراحی شده‌اند. بنابراین پیشنهاد شده که به رابطه (۳) بخش مرتبط با همدوسی واژه‌نامه تحت آموزش اضافه شود. در این صورت تابع بهینه‌سازی به صورت زیر خواهد بود:

$$F_{Proposed} = \min_D \sum_i^m \|y_i - Dx_i\|_2^2 + \lambda_1 \|D - D_0\|_F^2 + \lambda_2 \|DD^T - I\|_F^2 \quad (9)$$

$$F_{Proposed} = \min_D \left(\text{tr}(y_i^T y_i) + \text{tr}(D^T D A) - 2 \text{tr}(D^T B) + \lambda_1 \text{tr}[(D - D_0)(D - D_0)^T] + \lambda_2 \text{tr}[(DD^T - I)(DD^T - I)^T] \right) \quad (10)$$

بخش سوم رابطه (۹) تفاضل ماتریس گرام از ماتریس یکه واحد را مشخص و λ_2 پارامتر وزن دهی به منظور دست‌یابی به ماتریس گرام یکه برای واژه‌نامه خواهد بود. با به دست‌آوردن گردایان این تابع خواهیم داشت:

$$\frac{\partial F_{Proposed}}{\partial D} = 2(DA - B) + 2\lambda_1(D - D_0) + 4\lambda_2D(DD^T - I) \quad (11)$$

بخش نخست در این رابطه مربوط به کاهش خطای تقریب داده نوفة، بخش دوم مربوط به یافتن واژه‌نامه نوفة با ماتریس گرام نزدیک به ETF و بخش سوم مربوط با یافتن اتمهای واژه‌نامه مستقل از یکدیگر است. پارامتر γ_2 و γ_1

همدوسی اتمهای واژه‌نامه D به صورت زیر قابل تعریف است [30]:

$$\mu(D) = \max_{1 \leq i, j \leq L, i \neq j} |d_i \cdot d_j| \quad (7)$$

بنابراین با توجه به ویژگی‌های بیان شده برای الگوریتم حذف نوفة مبتنی بر انتقال واژه‌نامه و نیز روش‌های مبتنی بر یادگیری واژه‌نامه ناهمدوس به دنبال روش خواهیم بود که بتواند در یادگیری واژه‌نامه از این مراحل بهره ببرد. در بخش بعدی روش پیشنهادی مبتنی بر موارد بیان شده توضیح داده شده است.

۳-۲- روش پیشنهادی

با توجه به موارد بیان شده در بخش‌های قبل این نتیجه حاصل شد که واژه‌نامه فراکامل با اتم‌های ناهمدوس می‌تواند به خطای بازنمایی کمی منجر شود؛ زیرا هر اتم مستقل از اتم‌های دیگر در نمایش تکه‌های تصویر ورودی تأثیرگذار خواهد بود. بنابراین هدف در آموزش واژه‌نامه دست‌یابی به اتم‌هایی است که کمترین مقدار پارامتر همدوسی را به دست دهند.

تاکنون از مقاومت مرتبط با بازنمایی τ و یادگیری واژه‌نامه در پردازش‌های مختلف بهره گرفته شده و کارایی این روش‌ها در به دست‌آوردن نتایج مطلوب اثبات شده است [31]. در روش پیشنهادی، از الگوریتم بازنمایی τ استفاده شده که تعمیمی از الگوریتم LARS^۱ با شرط توقف براساس مقدار همدوسی مانده است [32-33]. این الگوریتم به منظور بازنمایی τ کسیگنال گفتار ارائه شده و در این مقاله در راستای حذف نوفة داده تصویر به کار گرفته می‌شود [32]. بازنمایی τ با تکیه بر این روش می‌تواند به صورت زیر بیان شود:

$$x^* = LARC(D, x, K, Coh) \quad (8)$$

از آنجایی که الگوریتم بازنمایی τ بر طبق مقدار τ کی متغیر انجام می‌گیرد، K در این رابطه بیان گر بیشینه مقدار این نرخ برای هر تکه داده ورودی است. همچنین، پارامتر Coh بیان گر میزان همدوسی میان اتم‌داده است. درنظر گرفتن معیار همدوسی برای اتمام الگوریتم کدگذاری τ ، قابلیت مصالحه میان انحراف منبع^۲ و اعوجاج منبع^۳ را به دست می‌دهد. انحراف منبع زمانی رخ می‌دهد که بازنمایی τ با نرخ τ کی پایین انجام یا بازنمایی بسیار τ باشد؛ بنابراین تعداد اتم‌های مورد نیاز برای نمایش کافی

¹ Least angle regression with coherence criterion

² Least-angle regression

³ Source distortion

⁴ Source confusion



$$I_{out} = \frac{I}{I+I_{in}} \cdot I_{in} \quad (13)$$

در این رابطه، I_{in} سیگنال نویه‌ای ورودی خواهد بود که در بهره ساخته شده براساس داده تصویر حاصل از واژه‌نامه ناهدموس ضرب و تصویر تمیز را نتیجه می‌دهد. روال بهینه‌سازی پیشنهادی در الگوریتم ارائه شده در این مقاله بهمنظور حذف نویه تصویر در ادامه آورده شده است:

داده ورودی الگوریتم: تکه‌های تصویر y_i , D_0 , نرخ افزونگی واژه‌نامه، نرخ تُنکی K , نرخ همدوسی اولیه Coh_0 و تعداد تکرار ۱

خروجی الگوریتم: واژه‌نامه D و ضرایب تُنک $D_0 - D$ و ضرایب همیستگی A و B برای $i=1:1$

۳. گام بازنمایی تُنک مبتنی بر الگوریتم LARC (رابطه ۸):

$$\min_{x, D} \sum_i^m \|y_i - Dx_i\|_2^2 \text{ s.t. } \forall i, \|x_i\|_0 \leq K, Coh \geq Coh_0$$

۴. برای داده ورودی y_i و ضرایب تُنک متناظر شان x_i

$$A \quad x_i x_i^T \rightarrow A$$

$$B \quad y_i x_i^T \rightarrow B$$

۵. گام یادگیری واژه‌نامه و نرمالیزه‌سازی واژه‌نامه نهایی (رابطه ۹):

$$F_{Proposed} = \min_D \sum_i^m \|y_i - Dx_i\|_2^2 + \lambda_1 \|D - D_0\|_F^2 + \lambda_2 \|DD^T - I\|_F^2$$

۶. اگر $\Delta < 0$ باشد بازگشت به گام دوم.

۴- نتایج شبیه‌سازی

در بخش گذشته روال حذف نویه تصویر با به کارگیری ایده واژه‌نامه‌های فرآکامل همدوس و روش تطبیق فضای مورد بررسی قرار گرفت. برخلاف روال زمان بر معمول آموزش یک واژه‌نامه جدید بهمنظور حذف نویه تصویر که در آن کل تصویر به عنوان ورودی الگوریتم آموزش در نظر گرفته می‌شود، ارائه روشهای در آن تنها بخش‌هایی از تصویر برای آموزش واژه‌نامه جدید منطبق با شرایط نویه‌ای محیط آزمایش مورد استفاده قرار گیرد، بسیار سودمند خواهد بود؛ درنتیجه در این مقاله یک روال یادگیری واژه‌نامه بهمنظور حذف نویه تصویر پیشنهاد داده شد که در آن از روش واژه‌نامه انتقال یافته استفاده شده است.

در روش پیشنهادی اتم‌های واژه‌نامه فضای هدف D که منطبق با شرایط محیط نویه‌ای است، براساس اتم‌های واژه‌نامه اولیه D_0 به کمک روش تطبیق فضای محدود بررسی شوند. این روال بهینه‌سازی اتم‌ها به کمک انتقال اتم‌ها براساس معیار انرژی

مصالحه میان این بخش‌ها را کنترل می‌کند. با توجه به رابطه بالا و از آنجایی که به دست آوردن جواب با فرم بسته^۱ برای واژه‌نامه D همانند آنچه از پیش در رابطه (۲) به دست آمده است، امکان پذیر نیست؛ بنابراین باید از یک الگوریتم کمینه‌یاب مناسب استفاده کرد. از آنجایی که روش‌های بازنمایی تُنک انعطاف‌پذیر بوده و از نتایج حاصل از آن‌ها در هر روش یادگیری واژه‌نامه می‌توان استفاده کرد، از یادگیری واژه‌نامه مبتنی بر روش BFGS حافظه محدود^۲ که یک الگوریتم تکرارشونده برای حل مسائل بهینه‌سازی غیرخطی بدون قید خواهد بود [34]. این روش تقریبی برای روش بهینه‌سازی نیوتون بوده و نسخه حافظه محدودشده‌ای از روش بهینه‌سازی BFGS است که بهمنظور بهینه‌سازی در مسائل با بعد بالا طراحی شده است. این الگوریتم مشابه روش BFGS از تخمین معکوس ماتریس هسین^۳ بهمنظور هدایت پارامترها بهره می‌گیرد؛ اما تنها برخی از بردارهای حل مسئله را ذخیره می‌کند که موجب می‌شود برای حل مسائل با پارامترهای زیاد بیشتر مورد توجه قرار گیرد.

این الگوریتم با تخمین اولیه‌ای از مقدار بهینه یعنی x_0 شروع و به طور تکرارشونده برای تخمین مقادیر بهتر x_1 , x_2 و ... ادامه می‌یابد. مشتق نخستتابع هزینه به عنوان نخستین قدم برای شروع الگوریتم و بهمنظور عملکرد براساس تندترین شبیب^۴ در این روش مورد استفاده قرار می‌گیرد. همچنین ماتریس هسین^۵ (مشتق دوم) براساس آن تخمین زده می‌شود. همانطور که گفته شد در روش پیشنهادی و بهمنظور بهروزرسانی اتم‌ها در واژه‌نامه تصویر به کمک روش حافظه محدود BFGS، می‌باشد، علاوه بر تابع $F_{Proposed}$ از مشتق آن یعنی $\frac{\partial F_{Proposed}}{\partial D}$ نیز استفاده کرد. نتایج حاصل از اجرای الگوریتم پیشنهادی و مقایسه نتایج با سایر روش‌ها در بخش بعد آورده شده است.

بعد از تعیین واژه‌نامه و ضرب واژه‌نامه حاصل در ضرایب تُنک، داده تصویر^۶ به دست می‌آید که می‌باشد تحت پس پردازش قرار گیرد تا داده تصویر تمیز I_{out} حاصل شود:

$$I = D \cdot x \quad (12)$$

در این رابطه، D ماتریس واژه‌نامه تطبیق‌یافته براساس رابطه (۱۱) و x ماتریس ضرایب بازنمایی تُنک به دست آمده از رابطه (۸) است.

¹ Closed form

² Limited-memory Broyden-Fletcher-Goldfarb-Shanno

³ Hessian matrix

⁴ Steepest descent method

⁵ Hessian matrix



² Barbara
³ K-means
⁴ Gaussian noise
⁵ Standard deviation
⁶ Peak signal to noise ratio

انتخاب شده از تصویر ورودی به منظور ساخت ماتریس داده^۷، به صورت بلوک های 8×8 بوده که به اندازه 0.25% با یکدیگر هم پوشانی دارند. یعنی بلوک ها به اندازه شش پیکسل در سطر و ستون هم پوشانی داشته و هر بلوک جدید از شماره سطر و ستون سنتوی که به اندازه مقدار دو واحد از شماره سطر و ستون بلوک قبلی بیشتر است، شروع می شود.

همچنین وازهندامه با نرخ چهار فرآکامل است و ابعاد 64×256 خواهد داشت. نرخ تُنگی برابر با $K=10$ انتخاب شده که به این معنی است که هر داده ورودی می تواند به منظور بازنمایی، حداقل از ۵۰٪ اتم در وازهندامه استفاده کند. نرخ همدوسي Coh در شبیه سازی های انجام شده برابر با 0.2 در نظر گرفته شده است. یعنی اتم های با کمینه نرخ همدوسي 0.2 می توانند در وازهندامه قرار بگیرند.

همان طور که بیان شد، الگوریتم K-SVD نخستین و اساسی ترین الگوریتم ارائه شده به منظور یادگیری وازهندامه بوده که به منظور حذف نویفه از تصویر به کار گرفته شده است. از آنجایی که کاهش نویفه تصویر در روش پیشنهادی مبتنی بر ارائه یک راه کار جدید براساس آموزش وازهندامه است. همچنین روش پیشنهادی در این مقاله نسخه اصلاح شده روال کاهش نویفه ارائه شده در مرجع [27] است که اصلاح آن از طریق اعمال قید همدوسي انم-داده و ناهمدوسی اتم ها با یکدیگر است؛ بنابراین مقایسه با نتایج این الگوریتمها انجام شده است. در ابتدا وازهندامه اولیه یا منبع D_0 به کمک داده تصویر برابر^۱ و الگوریتم آموزش وازهندامه K-میانگین^۲ حاصل می شود و در ادامه به منظور حذف نویفه تصاویر دیگر و نیز تصاویر ام آر آی مغزی مورد استفاده قرار می گیرد. در شکل (۱) تصاویر حذف نویفه شده توسط الگوریتم ارائه شده در مرجع [27] نمایش داده شده است. این تصاویر تحت تأثیر نویفه گوسبین^۳ با انحراف میانگین^۴ $= 20$ قرار گرفته اند. نتایج حاصل از حذف نویفه تصویر توسط روش یادگیری وازهندامه مبتنی بر تطبیق فضای [27] و روال یادگیری وازهندامه مبتنی بر روش پیشنهادی در شکل (۲) آورده شده است.

همچنین وازهندامه تصویر توسط یکصد تکه از تصویر نویفه ای، آموزش دیده و تطبیق یافته است. نتایج نسبت پیک سیگنال به نویفه^۵ (PSNR) حاصل از این روش ها در جدول (۱) آورده شده است. همچنین نتایج براساس هزار تکه انتخابی از تصویر نویفه ای در شکل (۳) و جدول (۲) آورده شده است.

اتهماها صورت می گیرد. بنابراین، واژهندامه جدید فضای آزمایش تنها به کمک تعداد کمی از تکه های تصویر نویفه ای هدف آموزش دیده و دیگر نیاز به آموزش براساس کل تصویر فضای آزمایش نخواهد بود.

واژهندامه اولیه D_0 می تواند به کمک هر الگوریتم یادگیری وازهندامه مدنظر و در دسترس به کمک هر داده تصویر ورودی دلخواه به شرط آنکه تمیز باشد، آموزش ببیند. در این صورت اتم های واژهندامه D_0 به خوبی ساختار مؤلفه های بافت تصویر را بازنمایی کرده و می توانند در روال حذف نویفه تصویر مبتنی بر روش تطبیق فضای کار گرفته شوند.

با توجه به مباحث بیان شده در بخش قبل، این نتیجه حاصل شد که واژهندامه فرآکامل با بیشینه ناهمدوسی اتم ها می تواند به خطای بازنمایی کمی منجر شود؛ زیرا هر اتم واژهندامه می تواند مستقل از سایر اتم ها در نمایش داده تصویر ورودی تأثیر گذار بوده و واژهندامه در مجموع می تواند کل فضای داده ورودی را پوشش دهد. بنابراین یکی از اهداف مهم در آموزش واژهندامه می تواند اکتساب اتم هایی باشد که نسبت به یکدیگر کمترین مقدار معیار همدوسي را داشته باشند.

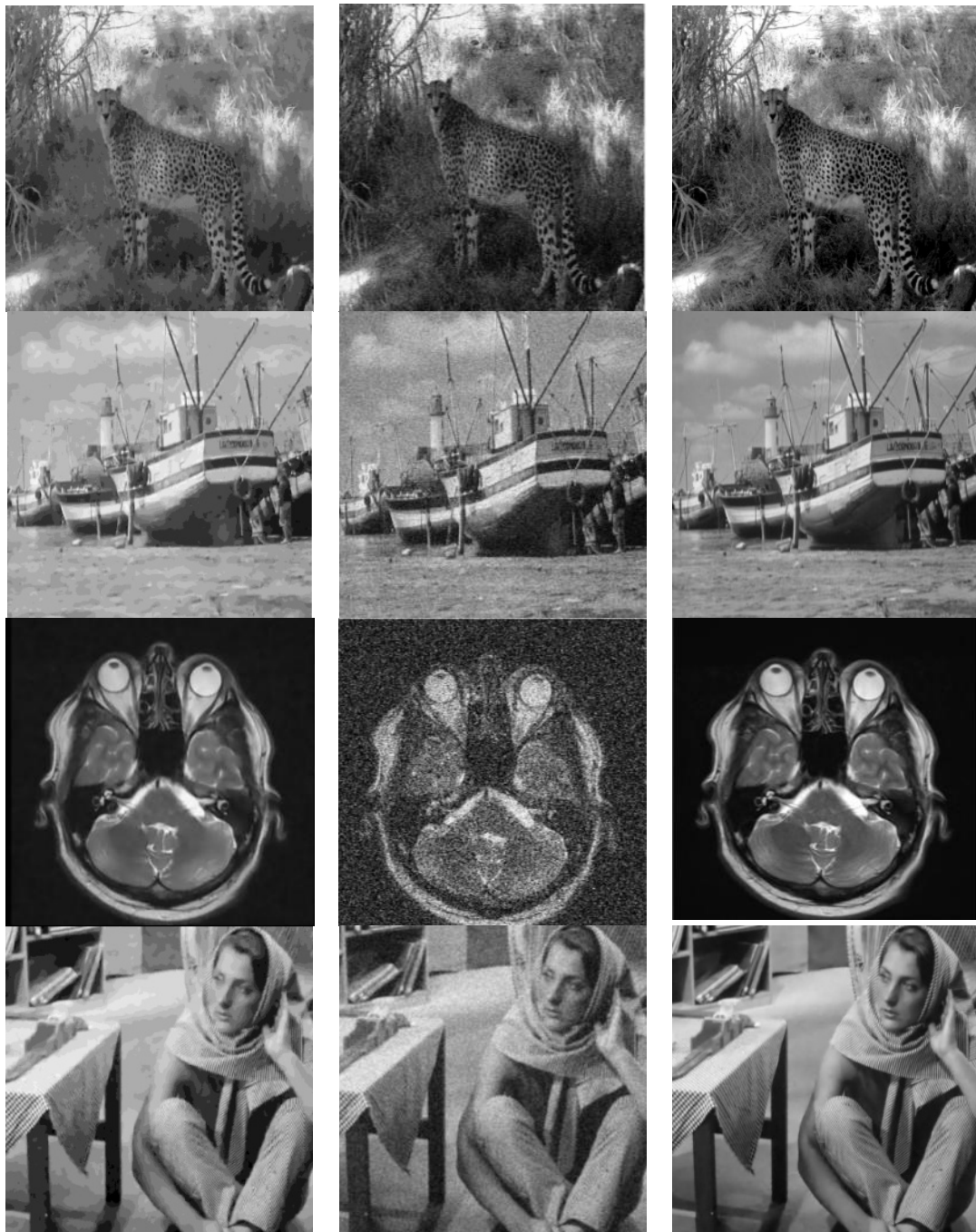
همان طور که بیان شد، دست یابی دقیق به این دسته از واژهندامه های ناهمدوس امکان پذیر نیست و حصول این واژهندامه ها با افزایش ابعاد فضای سیار دشوار خواهد بود.

از آنجایی که به طور معمول ابعاد فضای ورودی در مسئله حذف نویفه که با تکه های تصویر سروکار دارد، بالا است، ابعاد واژهندامه فرآکامل دارای افزونگی^۶ بالا خواهد بود و مشکل بیان شده پایرجا است؛ بنابراین انتظار دست یابی به تقریبی از واژهندامه ناهمدوس تنها از طریق بهینه کردن ضرایب ماتریس گرام که در بخش ۱-۳ معرفی شد، محقق می شود.

هر چه شباهت این ماتریس، مشخص کننده ناهمدوسی اتم های واژهندامه نرمالیزه شده به ماتریس یکه واحد بیشتر باشد، نتیجه می شود که اتم ها تا حد ممکن نسبت به یکدیگر ناهمدوس طراحی شده اند؛ بنابراین در روش جدید حذف نویفه تصویر ارائه شده در این مقاله یک روال بهینه سازی پیشنهاد شد که در آن بخشی مرتبط با همدوسي اتم های واژهندامه در روال آموزش در نظر گرفته شود و آموزش براساس کاهش خطای تقریب در کنار کاهش هدوسي اتم ها صورت پذيرد.

به منظور بررسی نتایج این الگوریتم، شبیه سازی هایی بر روی داده تصویر طبیعی و پیشگوی انجام شده است. شبیه سازی ها بر روی مجموعه ای از تصاویر هشت بیتی با سطوح خاکستری و ابعاد 256×256 انجام شده است. تکه های

¹ Redundancy



(شکل-۱): نتایج حذف نویه تصویر حاصل از به کار گیری روش پیشنهادی در حضور نویه گوسین و $\sigma = 20$ برای یکصد تکه. ستون سمت راست: تصاویر تمیز. ستون وسط: تصاویر نویه‌ای. ستون سمت چپ: تصاویر حذف نویه شده حاصل.

(Figure-1): Results of image denoising based on the proposed algorithm in the presence of Gaussian noise with $\sigma=20$ for 100 patches of noisy image. Right column: Clean images. Middle column: Noisy images. Left column: Denoised image.



(شکل-۲): نتایج حذف نویفه تصویر با نویفه گویسین و $\sigma = 20$ برای یکصد تکه. سهون سمت راست: با استفاده از روش یادگیری واژه‌نامه مبتنی بر تطبیق فضای [27]. سهون وسط: با استفاده از روش یادگیری واژه‌نامه مبتنی بر K-SVD. سمت چپ: با استفاده از روش یادگیری واژه‌نامه مبتنی بر روش پیشنهادی.

(Figure-2): Results of image denoising in the presence of Gaussian noise with $\sigma=20$ for 100 patches. Right column: The dictionary learning method based on domain adaptation [27]. Middle column: The denoising algorithm based on K-SVD dictionary learning method. Left column: The proposed method.

(جدول-۱): مقادیر نسبت بیک سیگنال به نویفه حاصل از حذف نویفه تصویر با به کارگیری روش یادگیری واژه‌نامه مبتنی بر تطبیق فضای SVD و روش پیشنهادی در حضور نویفه گویسین با $\sigma = 20$ و یکصد تکه.

(Table-1): Results of PSNR values of different image denoising approaches such as domain adaptation-based dictionary learning, K-SVD and the proposed method in the presence of Gaussian noise with $\sigma=20$ for 100 patches.

تصویر \leftarrow	چیتا	کشتی	باریکارا	ام آرای مغزی
[12] K-SVD الگوریتم	۲۶/۲۳۱	۲۹/۰۱۲	۲۹/۰۰۸	۳۱/۶۴۵
روش تطبیق فضای [27]	۲۷/۲۲۵	۳۰/۴۲۵	۳۰/۶۱۵	۳۲/۸۹۶
روش پیشنهادی	۲۸/۴۴۲	۳۱/۲۵۱	۳۲/۰۸۵	۳۳/۳۳۶

(جدول-۲): مقادیر نسبت پیک سیگنال به نویه حاصل از حذف نویه تصویر با به کار گیری روش یادگیری واژه نامه مبتنی بر تطبیق فضای روش پیشنهادی در حضور نویه گوسین با $\sigma = 20$ و هزار تکه.

(Table-2): PSNR values of different image denoising methods using dictionary learning technique in the presence of Gaussian noise with $\sigma=20$ for 1000 patches.

تصویر ←	چیتا	کشتی	باربارا	ام آرآی مغزی
[12] K-SVD	۲۶/۲۳۱	۲۹/۰۱۲	۲۹/۰۰۸	۳۱/۶۴۵
[27]	۲۶/۴۶۸	۲۹/۰۹۹	۲۹/۶۶۲	۲۱/۷۹۰
روش پیشنهادی	۲۶/۹۷۲	۲۹/۷۵۱	۳۰/۱۵۸	۳۲/۵۶۸



(شکل-۳): نتایج حذف نویه تصویر حاصل از بکار گیری روش پیشنهادی در حضور نویه گوسین و $\sigma = 20$ و هزار تکه. ستون سمت راست: تصاویر تمیز. ستون وسط: تصاویر نویه‌ای. ستون سمت چپ: تصاویر حذف نویه‌شده حاصل.

(Figure-3): Results of image denoising based on the proposed algorithm in the presence of Gaussian noise with $\sigma=20$ for 1000 patches of noisy image. Right column: Clean images. Middle column: Noisy images. Left column: Denoised image.

سایر تصاویر (به جز ام آر آی) است و این بدان علت است که تکه‌های مختلف این تصویر به عنوان واژه‌نامه پایه در ابتدای آموزش وزه‌نامه D_0 درنظر گرفته شده است. بنابراین تکه‌های تصویر ورودی در هنگام بازنمایی تُنک به درستی با اتمه‌های واژه‌نامه تطبیق یافته و خطای تقریب کمتری حاصل می‌شود.

نتایج حاصل از حذف نویفه تصویر توسط روش یادگیری واژه‌نامه مبتنی بر تطبیق فضا و روال یادگیری واژه‌نامه مبتنی بر روش پیشنهادی در شکل (۴) آورده شده است. نتایج حاصل نشان می‌دهد که حذف نویفه گوسی تا حد مطلوبی صورت پذیرفته است.

نکته‌ای که در میان نتایج به‌چشم می‌خورد این است که مقدار PSNR حاصل از حذف نویفه تصویر باریارا بیشتر از



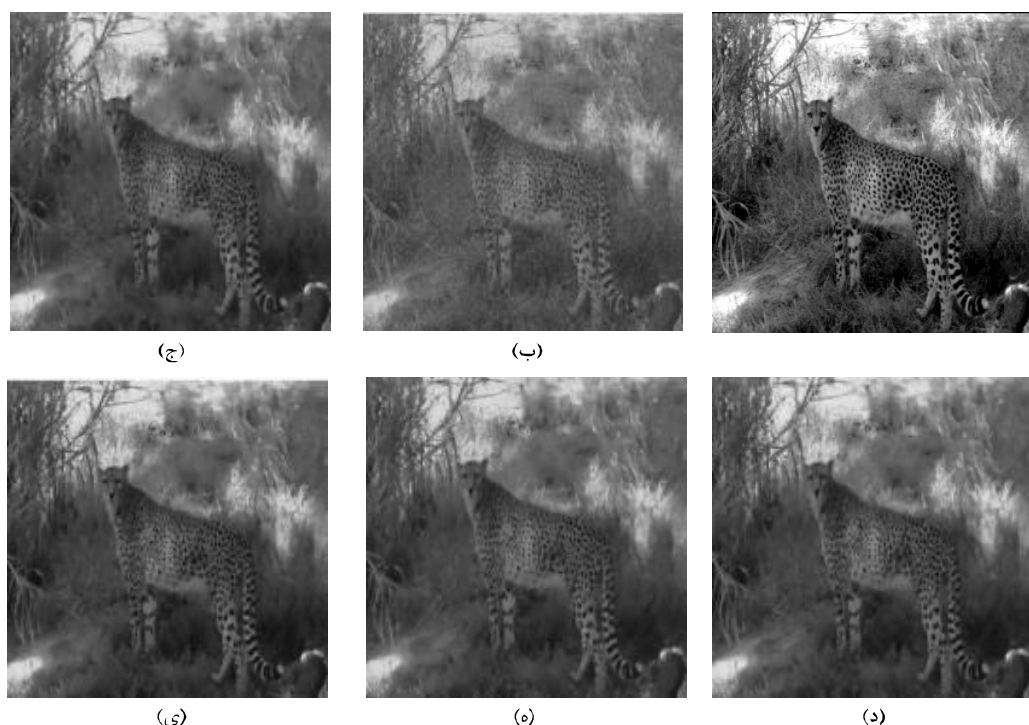
(شکل-۴): نتایج حذف نویفه تصویر با نویفه گوسین و $\sigma = 20$ و هزار تکه. ستون سمت راست: با استفاده از روش یادگیری واژه‌نامه مبتنی بر تطبیق فضا [27]. ستون وسط: با استفاده از روش یادگیری واژه‌نامه مبتنی بر K-SVD. ستون سمت چپ: با استفاده از روش یادگیری واژه‌نامه مبتنی بر روش پیشنهادی.

(Figure-4): Results of image denoising in the presence of Gaussian noise with $\sigma=20$ for 1000 patches. Right column: The dictionary learning based on domain adaptation [27]. Middle column: The denoising algorithm based on K-SVD dictionary learning. Left column: The proposed method.

مختلف در نظر گرفته شده از تصویر نویه‌ای و تعطیق واژه‌نامه براساس آن به منظور مدل کردن نویه محیط آزمایش برای روش پیشنهادی در شکل (۵) آورده شده است: همچنین مقادیر PSNR حاصل از این آزمایش در جدول (۳) آورده شده است. همان‌طور که مشخص است هر چه تعداد تکه‌ها افزایش یابد، داده بیشتری به منظور تعطیق فضای در دسترس خواهد بود و حذف نویه به صورت مطلوب‌تری انجام می‌شود. همچنین مقادیر PSNR حاصل از این آزمایش در جدول (۳) آورده شده که بیان‌گر برتری روش پیشنهادی است.

همچنین PSNR حاصل از حذف نویه تصویر ام آر آی معزی نیز بالا است از آنجایی که زمینه این تصویر تیره بوده و آموزش واژه‌نامه برای چنین تصاویری با تعداد تکه‌های یکسان به خطای تقریب کمتری منتهی می‌شود که باعث تعطیق مناسب میان تکه‌های تصویر و ستون‌های واژه‌نامه می‌شود.

این امر موجب می‌شود که بازنمایی مطلوبی برای تکه‌های مختلف تصویر که تغییرات کمی دارند، حاصل شود. نتایج حاصل از حذف نویه تصویر براساس تعداد تکه‌های



(شکل-۵): a) تصویر تمیز. b) تصویر نویه‌ای با $\sigma = 20$. c) تصویر حذف نویه شده براساس روش پیشنهادی با: ج) ۲۰ تکه. د) ۱۰۰ تکه. e) ۶۰۰ تکه. f) ۱۰۰۰ تکه.

(Figure-5): a) Clean image. b) Noisy image with $\sigma=20$. The denoised images based on the proposed method with different numbers of patches: c) 20 patches. d) 100 patches. e) 600 patches. f) 1000 patches.

(جدول-۳): مقادیر نسبت پیک سیگنال به نویه حاصل از حذف نویه تصویر چیتا با به کار گیری روش یادگیری واژه‌نامه مبتنی بر تعطیق فضای K-SVD و روش پیشنهادی با نویه گوسین با $\sigma = 20$ و تعداد تکه‌های مختلف.

(Table-3): PSNR values of dictionary-based image denoising approaches for cheetah image in the presence of Gaussian noise with $\sigma=20$ for different numbers of patches.

تعداد تکه‌های انتخابی از تصویر نویه‌ی	۱۰۰۰	۶۰۰	۱۰۰	۲۰
الگوریتم K-SVD [12]	۲۶/۲۳۱	۲۶/۲۳۱	۲۶/۲۳۱	۲۶/۲۳۱
روش تعطیق فضای [27]	۲۷/۷۳۵	۲۶/۷۹۳	۲۶/۶۷۰	۲۶/۴۶۸
روش پیشنهادی	۲۸/۴۳۲	۲۷/۸۲۹	۲۷/۰۷۱	۲۶/۹۷۲

(جدول-۴): مقادیر نسبت پیک سیگنال به نویفه حاصل از حذف نویفه تصویر چیتا با به کار گیری روش یادگیری واژه‌نامه مبتنی بر تطبیق فضا، K-SVD و روش پیشنهادی با نویفه گوسین با $\sigma = 10$ و تعداد تکه‌های مختلف.

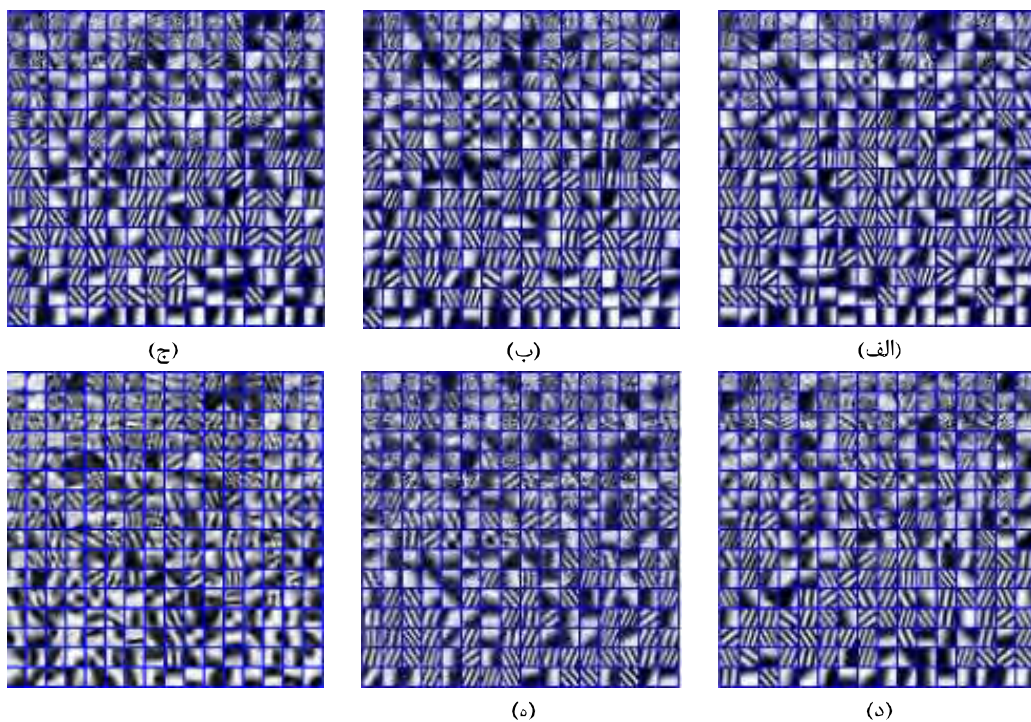
(Table-4): PSNR values of dictionary-based image denoising approaches for cheetah image in the presence of Gaussian noise with $\sigma=10$ for different numbers of patches.

تعداد تکه‌های انتخابی از تصویر نویفه \leftarrow				
۱۰۰۰	۶۰۰	۱۰۰	۲۰	الگوریتم
۳۰/۴۴۶	۳۰/۴۴۶	۳۰/۴۴۶	۳۰/۴۴۶	K-SVD [12]
۳۱/۸۶۷	۳۱/۴۰۹	۳۱/۰۲۵	۳۰/۸۹۲	روش تطبیق فضا [27]
۳۲/۴۵۲	۳۱/۹۶۶	۳۱/۵۶۷	۳۱/۱۱۲	روش پیشنهادی

تئک Larc. قید همدوسی برای تضمین حداقل شباهت میان داده تصویر و اتم‌ها در نظر گرفته شده است. همان‌طور که در شکل (۶) نشان داده شده، اتم‌های آموزش‌دیده توسط الگوریتم پیشنهادی با افزایش تعداد تکه‌ها که داده آموزش را تشکیل می‌دهند، شباهت بیشتری به محتوای تصویر پیدا می‌کنند؛ بنابراین هر چه تکه‌های تصویر بیشتری به منظور انجام روال آموزش از داده ورودی استخراج شود، اتم‌ها بازنمایی درست‌تری از داده ورودی خواهند داشت و همان‌طور که در نتایج شبیه‌سازی‌ها نشان داده شده، نتایج بهتری در حذف نویفه بدست می‌آید.

در شکل (۶) نمایشی از اتم‌های یادگیری شده (تطبیقی) در روش پیشنهادی براساس تعداد تکه‌های مختلف انتخاب شده از تصویر نویفه‌ای آورده شده است. قابل مشاهده است که با افزایش تعداد تکه‌ها از ده تا ده‌هزار، اتم‌های واژه‌نامه آموزش‌دیده متفاوت تغییر خواهند کرد و جزیيات بیشتری را از ساختار تصویر بازنمایی می‌کنند.

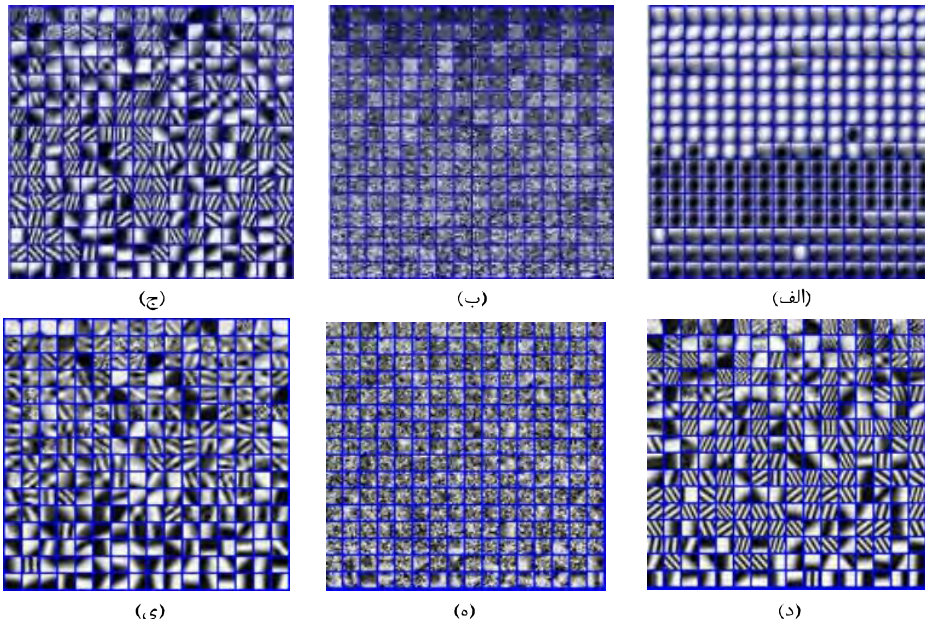
باید توجه داشت که اتم‌های آموزش‌دیده براساس هر روش یادگیری واژه‌نامه می‌باشد تا حد زیادی بازنمایی کننده محتوای داده تصویر ورودی باشند. در روش پیشنهادی نیز به علت به کار گیری روش کدگذاری بازنمایی



(شکل-۶): نمایشی از اتم‌های تطبیق یافته براساس تعداد تکه‌های مختلف انتخاب شده از تصویر نویفه‌ای ورودی در روش پیشنهادی به ازای: (الف) ۱۰. (ب) ۶۰. (ج) ۱۰۰. (د) ۲۰۰. (ه) ۶۰۰. (ی) ۱۰۰۰.

(Figure-6): Plot of the updated atoms according to the different number of patches selected from input noisy image using the proposed method for: a) 10 patches. b) 60 patches. c) 100 patches. d) 200 patches. e) 600 patches. f) 1000 patches.

یادگیری واژه‌نامه مبتنی بر آنالیز مؤلفه‌های اساسی، یادگیری واژه‌نامه مبتنی بر روش K-میانگین به طور کامل متفاوت از محتوای تصویر ورودی است که می‌تواند بیان گر این مسأله باشد که این اتم‌ها نمی‌توانند به درستی محتوای داده تصویر را نمایش دهند؛ همچنین مشاهده میان این اتم‌ها با تصویر ورودی در یادگیری واژه‌نامه براساس سایر روش‌های مقایسه شده مانند به کار گیری K-SVD و روش‌های تطبیق فضای پایه و به خصوص روش پیشنهادی به طور کامل مشهود است.



(شکل-۷): نمایشی از اتم‌های آموزش دیده توسط الگوریتم‌های: (الف) یادگیری واژه‌نامه فازی. (ب) یادگیری واژه‌نامه مبتنی بر آنالیز مؤلفه‌های اساسی. (ج) یادگیری واژه‌نامه مبتنی بر روش K-میانگین (د) یادگیری واژه‌نامه مبتنی بر تطبیق فضای پایه. (ه) یادگیری واژه‌نامه مبتنی بر روش پیشنهادی. (ی) یادگیری واژه‌نامه مبتنی بر روش K-SVD. (الف) The proposed method.

(Figure-7): Plot of learned atoms using different algorithms: a) Fuzzy dictionary learning. b) Dictionary learning based on principle component analysis. c) Dictionary learning based on K-means. d) Dictionary learning based on the adaptation learning algorithm [27]. e) Dictionary learning based on K-SVD. f) The proposed method.

کمترین مقدار نرخ همدوسی متقابل میان اتم‌داده و بیشترین نرخ همدوسی متقابل میان اتم‌ها مربوط به روش K-SVD است؛ زیرا در این الگوریتم هیچ گونه معیار متناسب برای بهینه کردن نرخ همدوسی تعیینه نشده است. همچنین نرخ همدوسی متقابل میان اتم‌ها برای الگوریتم مبتنی بر تکیک تطبیق فضا نیز مقدار زیادی دارد و این مسأله نیز به این دلیل است که در روش ارائه شده براساس این روش معیار همدوسی در نظر گرفته نشده است؛ اما روش پیشنهادی با تکیه بر ترمومتاری مختلف در نظر گرفته شده در تابع برآذش معرفی شده در رابطه (۹) توانسته است کمینه مقدار همدوسی متقابل اتم‌ها را به دست آورد در

در شکل (۷) نیز اتم‌های آموزش دیده توسط الگوریتم‌های یادگیری واژه‌نامه فازی [35]، یادگیری واژه‌نامه مبتنی بر آنالیز مؤلفه‌های اساسی^۱ [36]، یادگیری واژه‌نامه مبتنی بر روش K-میانگین^۲ [37]، روش یادگیری واژه‌نامه مبتنی بر تطبیق فضای پایه [27] و روال پیشنهادی یادگیری واژه‌نامه به ازای آموزش براساس ۶۰۰ تکه انتخابی از تصویر نویه‌ای نشان داده است.

بر طبق نتایج حاصل از این شکل، ساختار اتم‌های آموزش دیده توسط الگوریتم‌های یادگیری واژه‌نامه فازی،

به منظور بررسی پارامتر همدوسی متقابل میان اتم‌ها و داده تصویر و نیز نرخ همدوسی میان اتم‌ها که روش پیشنهادی به ترتیب براساس بیشینه‌سازی و کمینه‌سازی این دو معیار طراحی شده، آزمایشی انجام گرفت که نتایج حاصل از آن در جدول (۵) برای روش‌های یادگیری واژه‌نامه مختلف آورده شده است.

نتایج حاصل از این جدول نشان می‌دهد که روش پیشنهادی با تکیه بر روال بهینه‌سازی ارائه شده بر مبنای یک تابع برآذش مناسب توانسته است به این مهم دست پیدا کند.

^۱ Principle component analysis(PCA)

^۲ K-means

6- References

- [1] H. Naimi, A. B. H. Adamou-Mitiche, L. Mitiche, "Medical image denoising using dual tree complex thresholding wavelet transform and Wiener filter", Journal of King Saud University-Computer and Information Sciences, vol: 27, no.1, pp. 40-45, 2015.
- [2] A. Teodoro, M. Almeida, M. Figueiredo, "Single-frame image denoising and inpainting using Gaussian mixtures", International Conference on Pattern Recognition Applications and Methods (ICPRAM), pp. 283-288, 2015.
- [3] S. Beckouche, J. L. Starck, and J. Fadili, "Astronomical image denoising using dictionary learning", Astronomy & Astrophysics 556, A132, 2013.
- [4] Y. Zhu, C. Huang, "An improved median filtering algorithm for image noise reduction", Physics Procedia, no. 25, pp. 609-616, 2012.
- [5] Y. L. You, M. Kaveh., "Fourth order partial differential equations for noise removal?", IEEE Trans. Image Processing, vol. 9, no. 10, pp. 1723-1730, 2000.

۶- مراجع

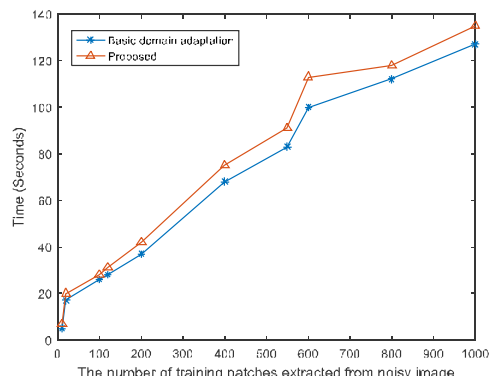
روش تطبیق فضای مورد بررسی قرار گرفت. معیار همدوسی در این الگوریتم بر مبنای دو پارامتر همدوسی اتم-داده و همدوسی متقابل میان اتمها تعریف شده است. بیشینه کردن پارامتر همدوسی اتم-داده در این مقاله به کمک الگوریتم بازنمایی تُنک طراحی شده به همین منظور و کمینه سازی نرخ همدوسی متقابل میان اتمها براساس تابع برازش مناسب ارائه شده برآورده می شود. با استفاده از این روش، اتمهای واژه نامه اولیه ناهمدوس آموزش دیده از داده تصویر در دسترس، براساس داده نویفه محیط بر طبق روش تطبیق فضای به روز شده و به منظور حذف نویفه در بازنمایی تُنک داده نویفه ای مورد استفاده قرار می گیرند. همچنین آموزش واژه نامه فرآکامل با اتمهای ناهمدوس می تواند به خطای تقریب کوچکی منتهی شود؛ زیرا در بازنمایی هر تکه تصویر، اتمهای مستقل از هم نقش بیشتری خواهند داشت و فضای داده را به بهترین نحو پوشش می دهند. به کار گیری این روال یادگیری موجب کاهش زمان محاسباتی شده و نویفه با دقت بیشتری از تصویر حذف می شود. نتایج شبیه سازی های انجام شده نشان می دهد که الگوریتم پیشنهادی در حذف نویفه گویند به نتایج مناسب تری نسبت به الگوریتم پایه در این زمینه دست یافته و توانسته است با به کار گیری اتمهای ناهمدوس، ساختار داده ورودی را به گونه مناسبی بازنمایی کند.

شرایطی که بیشینه مقدار همدوسی میان اتم-داده برآورده شده است. در شکل (۸) زمان لازم به منظور شبیه سازی الگوریتم مرجع [27] و روش پیشنهادی بر حسب تعداد تکه های گرفته شده از تصویر نویفه ای ورودی به منظور تطبیق واژه نامه اولیه با شرایط نویفه ای محیط نشان داده شده است. بدیهی است که هر چه تعداد این تکه ها زیادتر باشد تا بتوان تطبیق با دقت بالاتر میان واژه نامه اولیه و تکه های نویفه ای برقرار کرد، زمان محاسباتی نیز افزایش خواهد یافت. این نتایج محاسبات زمانی نشان می دهد که اگرچه روش پیشنهادی به اندازه زمان بیشتری نسبت به روش تطبیق فضای پایه به منظور آموزش واژه نامه جهت حذف نویفه تصویر نیاز دارد، اما با توجه به نتایج حاصل از شکل ها و جداول این بخش به خطای تقریب کمتری دست پیدا می کند.

(جدول-۵): مقدار نرخ همدوسی متقابل میان اتم-داده و نرخ همدوسی میان اتمها برای روش های یادگیری و ازه نامه مختلف

(Table-5): Atom-data coherence value and coherence value between atoms for different dictionary-based image denoising methods

نرخ همدوسی میان اتمها	نرخ همدوسی متقابل میان اتم-داده	روش به کار گفته شده ↓
۰/۶۹	۰/۳۲	K-SVD
۰/۵۸	۰/۴۶	روش تطبیق فضای [27]
۰/۴۳	۰/۵۸	روش پیشنهادی



(شکل-۸): نمایش زمان اجرای الگوریتم پایه تطبیق فضای [27] و روش پیشنهادی بر حسب تعداد تکه های اختصاص یافته از تصویر نویفه ای ورودی به منظور تطبیق واژه نامه اولیه

(Figure-8): Plot of computation time using dictionary learning based on domain adaptation technique [27] and the proposed method for different number of patches selected from input noisy image to update dictionary atoms

۵- نتیجه گیری

در این مقاله یک الگوریتم جدید به منظور کاهش نویفه سیگنال تصویر براساس یادگیری واژه نامه ناهمدوس مبتنی بر

- [17] X. Lu, H. Yuan, P. Yan, Y. Yuan, L. Li, X. Li, "Image denoising via improved sparse coding", *Proceedings of the British Machine Vision Conference*, pp. 74-81, 2011.
- [18] J. Wang, J. F., Cai, Y. Shi, B. Yin, "Incoherent dictionary learning for sparse representation based image denoising", *IEEE international Conference on Image Processsing*, Piscataway, NJ: IEEE, pp. 4582-4586, 2014.
- [19] T. Tong, J. Caballero, K. Bhatia, D. Rueckert, "Dictionary learning for medical image denoising, reconstruction, and segmentation", *Machine Learning and Medical Imaging*, pp. 153-181, 2016.
- [20] M. Karimipoor, V. Abolghasemi, S. Ferdowsi, "An Efficient Image Denoising Approach Based on Dictionary Learning", *International Journal of Mathematics and Computational Science*, vol. 2, no. 1, , pp. 1-7, 2016.
- [21] G. Davis, S. Mallat, Z. Zhang, "Adaptive time-frequency decompositions", *Optical-Engineering*, vol. 33, pp. 218-391, 1994.
- [22] A. Agarwal, A. Anandkumar, P. Jain, P. Netrapalli, R. Tandon, "Learning sparsely used overcomplete dictionaries", *JMLR: Workshop and Conference Proceedings*, vol. 35, pp. 1-15, 2014.
- [23] H. Lee, A. Battle, R. Raina, A. Y. Ng, "Efficient sparse coding algorithms", *Advances in Neural Information Processing Systems*, 2006.
- [24] J. Portilla, L. Mancera, "L0-based sparse approximation: Two alternative methods and some applications", *Proceedings of the 16th IEEE international conference on Image processing*, pp. 3865-3868, 2009.
- [25] K. Engan, S. O. Aase, J. H. Hakon-Husoy, "Method of optimal directions for frame design", *IEEE International Conference on Acoustics, Speech, and Signal Processing.*, vol. 5 , pp. 2443-2446, 1999.
- [26] K. Delgado, J. F. Murray, B. D. Rao, K. Engan, T. Lee, T. J. Sejnowski, "Dictionary learning algorithms for sparse representation", *Neural Computation.*, vol. 15, no. 2, pp. 349-396, 2003.
- [27] G. Chen, C. Xiong, J. J. Corso, "Dictionary transfer for image denoising via domain adaptation," In *Proceedings of IEEE International Conference on Image Processing*, 2012.
- [28] S. Mavaddaty, S. M. Ahadi, S. Scyedin, "A novel speech enhancement method by learnable sparse and low-rank decomposition and domain
- [6] مهدی زاده همت آبادی، امیر، حسینی فاطمی، محمدرضا، "حذف نویه تصاویر با استفاده از الگوریتم بهبود یافته تطبیق بلوک و فیلتر سه بعدی"، اولین کنفرانس ملی مهندسی برق دانشگاه آزاد اسلامی واحد لرگرد، ۱۳۹۳.
- [6] A. Mehdizadeh, M. Hosseiniyatemi, "Image denoising based on modified adapted block and 3D filter", *1st Conference on electrical engineering (ICEE2015)*, Langaroud, 2015.
- [7] C. IIuang, Y. Zhu, "New Morphological Filtering Algorithm for Image Noise Reduction", *Second International Congress on Image and Signal Processing*, 2009, pp. 1-6.
- [8] R. G. Baraniuk, "Compressive Sensing," *IEEE Signal Processing Magazine*, pp. 118-121, 2007.
- [9] D. Donoho, "Compressed sensing," *IEEE Trans. Inform. Theory*, vol. 52, no. 4, pp. 1289-1306, 2006.
- [10] T. Gan, W. Lu, "Image denoising using multi-scale sparse representation", School of Electrical & Electronic Engineering, Nanyang Technological University, Singapore, *Proceedings of IEEE 17th International Conference on Image Processing*, pp. 1165-1168, 2010.
- [11] P. Chatterjee, P. Milanfar, "Image denoising using locally learned dictionaries", Department of Electrical Engineering, University of California, Santa Cruz, CA 95064, USA, 2009.
- [12] M. Aharon, M. Elad, A. Bruckstein, "K-SVD: An algorithm for designing overcomplete dictionaries for sparse representation", *IEEE Trans. Signal Process*, vol. 54, no. 11, pp. 4311-4322, 2006.
- [13] Z. Fen, X. Kai, "A novel image denoising method based on DCT basis and sparse representation", Cross Strait Quad-Regional Radio Science and Wireless Technology Conference, College of information & mechanical engineering Beijing Institute of Graphic Communication, pp.1307-1310, 2011.
- [14] J. Mairal, M. Elad, G. Sapiro, "Sparse learned representations for image restoration", In Proc. of the 4th World Conf. of the Int. Assoc. for Statistical Computing (IASC), Yokohama, Japan, 2008.
- [15] S. Li, L. Fang, H. Yin, "An efficient dictionary learning algorithm and its application to 3-D medical image denoising", *IEEE transactions on biomedical engineering*, vol. 59, no. 2, pp. 417-427, 2012.
- [16] W. S. Dong, X. Li, L. Zhang, G. M. Shi, "Sparsity-based Image Denoising via Dictionary Learning and Structural Clustering",



رضا مظفری تحصیلات خود را در مقاطع کارشناسی و کارشناسی ارشد در رشته مهندسی برق-الکترونیک بهترتبیب در سال ۱۳۹۱ در مؤسسه آموزشی عالی روزبهان و در سال ۱۳۹۷

در مؤسسه آموزش عالی علوم و فناوری آریان به پایان رسانده است. زمینه پژوهشی مورد علاقه ایشان پردازش سیگنال است.

نشانی رایانمه ایشان عبارت است از:

rezamozaffari3@gmail.com



سمیرا مودتی مدارک کارشناسی و کارشناسی ارشد خود را بهترتبیب در سال‌های ۱۳۸۶ و ۱۳۸۹ از دانشگاه مازندران در رشته مهندسی برق-الکترونیک و درجه دکتراخود را در سال ۱۳۹۵ از دانشگاه صنعتی امیرکبیر در رشته مهندسی برق-الکترونیک دریافت کرد. وی هم اکنون استادیار گروه مهندسی برق دانشگاه مازندران است. زمینه‌های پژوهشی مورد علاقه ایشان عبارت است از: پردازش سیگنال گفتار، پردازش سیگنال تصویر، بهینه‌سازی و هوش مصنوعی.

نشانی رایانمه ایشان عبارت است از:

s.mavaddati@umz.ac.ir

adaptation”, *Speech Communication*, vol. 76, pp. 42-60, 2016.

[29] S. Chen, S.A. Billings, W. Luo. "Orthogonal least squares methods and their application to non-linear system identification", *International Journal of Control.*, vol. 50, pp.1873-1896, 1989.

[30] D. Barchiesi, M. D. Plumbley, “Learning incoherent dictionaries for sparse approximation using iterative projections and rotations”, *IEEE Transactions on Signal Processing*, vol. 61, no. 8, pp. 2055-2065, 2013.

[31] میرجلیلی، علیرضا، ابوطالبی، وحید، صادقی، محمد تقی، "بهبود کارایی طبقه‌بندی گمنه مبتنی بر نمایش تنک برای طبقه‌بندی سیگنال‌های مغزی"، پردازش علائم و داده‌ها، جلد ۱۲، شماره ۳، صفحه ۴۳-۵۵. ۱۳۹۴

[32] A. Mirjalili, V. Abootalebi, M. T. Sadeghi, "Improving the performance of sparse representation-based classifier for EEG classification", *JSDP*, vol. 12, no. 3, pp. 43-55, 2015.

[33] C. D. Sigg, T. Dikk, J. M. Buhmann, "Speech enhancement using generative dictionary learning", *IEEE Transactions on Audio, Speech and Language Processing*, vol. 20, no. 6, pp.1698-1712, 2012.

[34] B. Efron, T. Hastie, I. Johnstone, R. Tibshirani, "Least angle regression", *Ann. Stat.*, vol. 32, pp. 407-499, 2004.

[35] X. Song, Z. Liu, "A Fuzzy adaptive K-SVD dictionary algorithm for face recognition", *Proceedings of the 2nd International Conference on Computer Science and Electronics Engineering (ICCSEE)*, pp. 2164-2168, 2013.

[36] G. Jenatton, F. Bach. "Structured sparse principal component analysis", Technical report, pp. 366-373, 2009.

[37] M. Elad and M. Aharon, "Image denoising via sparse and redundant representations over learned dictionaries", *IEEE Trans. on Image Processing*, vol. 15, no. 12, pp. 3736-3745, 2006.

